

RELAZIONE DI ELETTRONICA

Amplificatori Operazionali

FRANCESCO FORCHER

Università di Padova, Facoltà di Fisica

francesco.forcher@studenti.unipd.it

Matricola: 1073458

ENRICO LUSIANI

Università di Padova, Facoltà di Fisica

enrico.lusiani@studenti.unipd.it

Matricola: 1073300

LAURA BUONINCONTRI

Università di Padova, Facoltà di Fisica

laura.buonincontri@studenti.unipd.it

Matricola: 1073131

8 maggio 2016

Sommario

L'obiettivo dell'esperienza è la misura della curva di trasferimento di un amplificatore (in configurazione invertente e non invertente) e lo studio della sua risposta in frequenza (in configurazione non invertente).

INDICE

I Schema Circuiti	2
II Parte I	2
I Amplificatore invertente	2
I.1 Calcolo amplificazione	3
I.2 Analisi	3
II Amplificatore non invertente	3
II.1 Calcolo amplificazione	3
II.2 Analisi	3
III Parte II	8
I Amplificatore con $A=10$	8
II Amplificatore con $A=5$	8
III Amplificatore con $A=1$	9
IV Discussione dei punti precedenti	10
IV Analisi dei dati	17
V Appendice: calcolo degli errori	17
VI Conclusioni	17
VII Codice	18

I. SCHEMA CIRCUITI

Circuito di alimentazione:

II. PARTE I

II.I Amplificatore invertente

Schema amplificatore invertente: Le resistenze sono state scelte in modo da avere guadagno $A = -10 \frac{V}{V}$

$$R_1 = 9.85 \pm 0.05 \text{ k}\Omega$$

$$R_2 = 101.3 \pm 0.6 \text{ k}\Omega$$

$$R_3 = 56.0 \pm 0.3 \Omega$$

Per il calcolo degli errori sul valore delle resistenze, lette sull'Agilent U1232A, è stata utilizzata la seguente formula:

$$\sigma_{\text{tot}} = \sqrt{\sigma_{\%}^2 + \sigma_{\text{dgt}}^2}$$

Per il calcolo delle σ_{tot} è stato cercato del datasheet dello strumento, l'errore percentuale e di digit corrispondente al fondo scala utilizzato.

I.1 Calcolo amplificazione

Dimostrazione che amplificazione in configurazione invertente è data da

I.2 Analisi

La stima di A teorica, a partire dalle resistenze misurate è: $A_{\text{teorica}} =$

Le misure sono state fatte applicando una tensione sinusoidale di frequenza $f = 1 \text{ kHz}$, variando l'ampiezza tra $0.2V_{\text{pp}}$ e $4V_{\text{pp}}$.

Per il calcolo degli errori sui valori di V_{in} e V_{out} letti sull'oscilloscopio, è stata utilizzata la seguente formula:

$$\sigma_{\text{tot}} = \sqrt{(0.02 \cdot V_{\text{letto}})^2 + (0.06 \cdot V_{\text{div}})^2}$$

E' stata fatta l'interpolazione lineare pesata dei punti compresi tra 0 e 1.5 V. $q = 0.02 \pm 0.03 \text{ V}$
 $m = -10.0 \pm 0.1 \frac{\text{V}}{\text{V}}$

II.II Amplificatore non invertente

Schema amplificatore non invertente: Le resistenze sono state scelte in modo da avere guadagno $A = 10 \frac{\text{V}}{\text{V}}$

$$R_{1,\text{up}} = 9.91 \pm 0.05 \text{ k}\Omega$$

$$R_{1,\text{down}} = 9.85 \pm 0.05 \text{ k}\Omega$$

$$R_{2,\text{up}} = 99.7 \pm 0.6 \text{ k}\Omega$$

$$R_{2,\text{down}} = 101.3 \pm 0.6 \text{ k}\Omega$$

$$R_4 = 56.0 \pm 0.3 \Omega$$

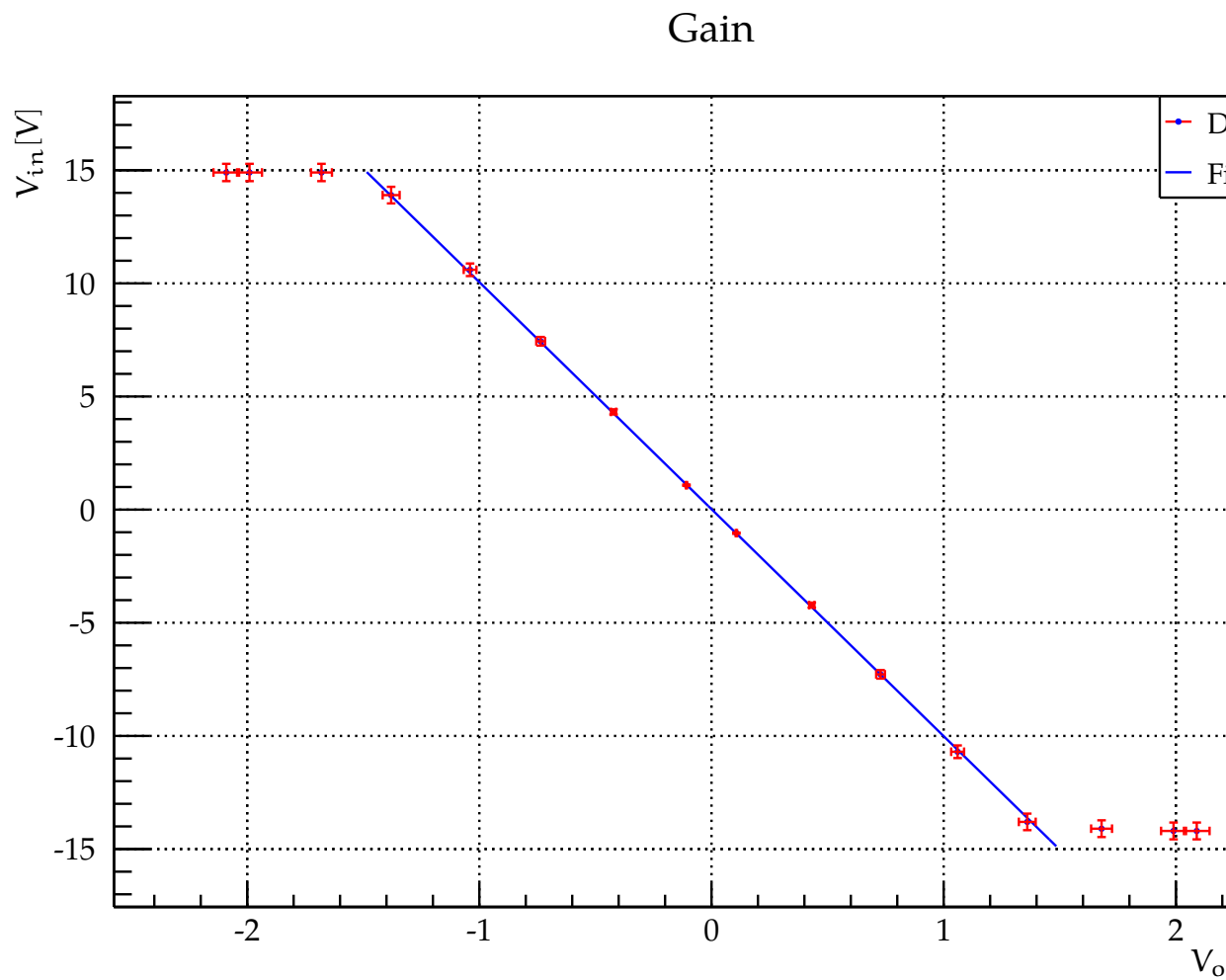
II.1 Calcolo amplificazione

Dimostrazione che amplificazione in configurazione non invertente è data da

II.2 Analisi

La stima di A teorica, a partire dalle resistenze misurate è:

$$A_{\text{teorica}} =$$

Grafico 1 Curva di trasferimento di un amplificatore invertente

Le misure sono state fatte applicando una tensione sinusoidale di frequenza $f = 1 \text{ kHz}$, variando l'ampiezza tra $0.2V_{pp}$ e $4V_{pp}$.

E' stata fatta l'interpolazione lineare pesata dei punti compresi tra 0 e 1.5 V.

$$q = -0.007 \pm 0.03 \text{ V}$$

$$m = 10.0 \pm 0.1 \frac{\text{V}}{\text{V}}$$

Tabella 1: Dati curva di trasferimento

$V_{in+} \pm \sigma_{V_{in+}} (V)$	$V_{in-} \pm \sigma_{V_{in-}} (V)$	FS (V)	$V_{out+} \pm \sigma_{V_{out+}} (V)$	$V_{out-} \pm \sigma_{V_{out-}} (V)$	FS (V)
1.06 ± 0.03	-1.04 ± 0.03	0.3	-10.7 ± 0.3	10.6 ± 0.3	3
0.107 ± 0.003	-0.108 ± 0.003	0.03	-1.04 ± 0.03	1.08 ± 0.03	0.3
0.43 ± 0.01	-0.422 ± 0.01	0.12	-4.2 ± 0.1	4.32 ± 0.1	1.2
0.73 ± 0.02	-0.74 ± 0.02	0.2	-7.3 ± 0.2	7.4 ± 0.2	2
1.36 ± 0.04	-1.38 ± 0.04	0.4	-13.8 ± 0.4	13.9 ± 0.4	4
1.68 ± 0.05	-1.68 ± 0.05	0.5	-14.1 ± 0.4	14.9 ± 0.4	4
1.99 ± 0.05	-1.99 ± 0.05	0.6	-14.2 ± 0.4	14.9 ± 0.4	4
2.09 ± 0.06	-2.09 ± 0.06	0.6	-14.2 ± 0.4	14.9 ± 0.4	4

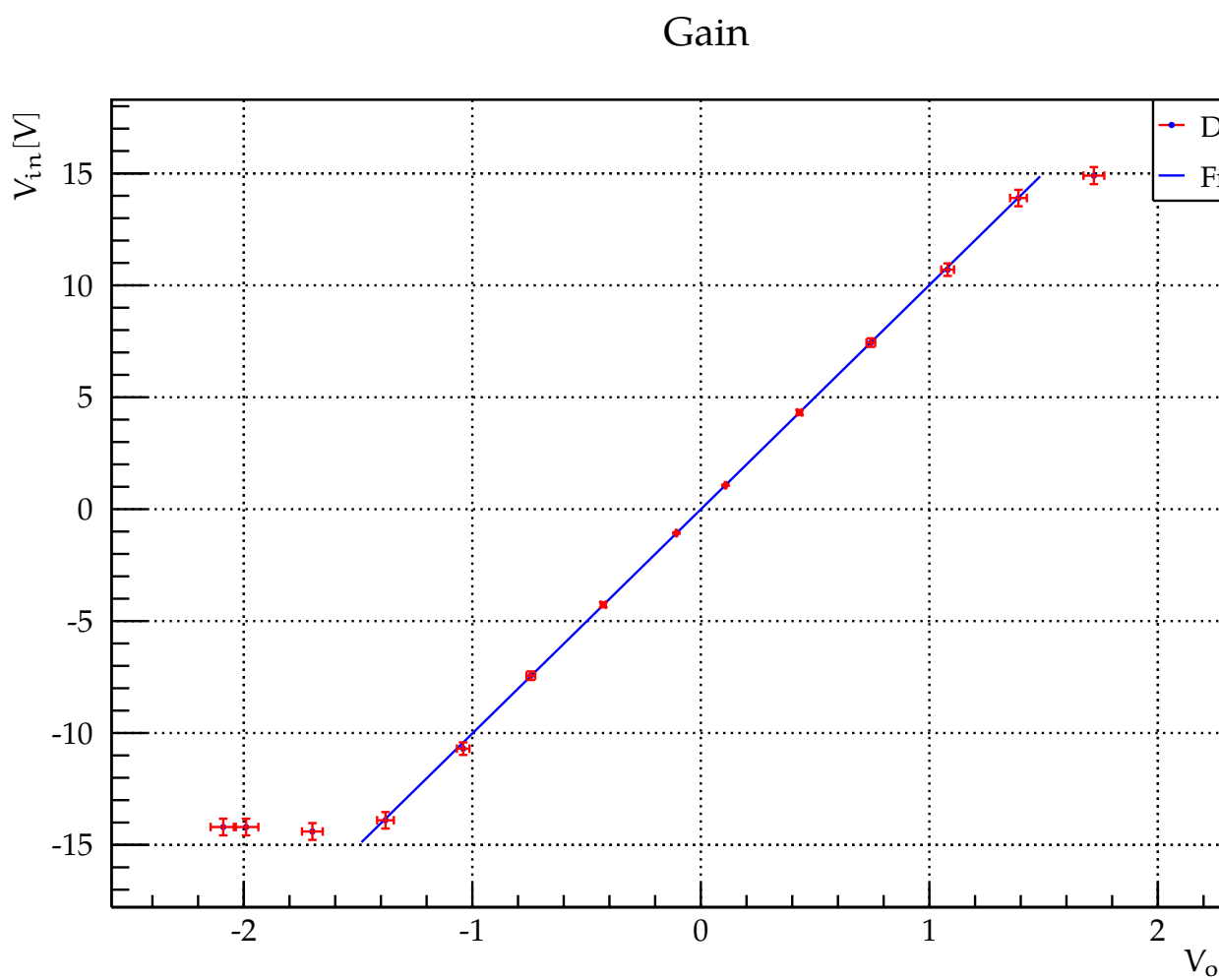
Grafico 2 Curva di trasferimento di un amplificatore invertente

Tabella 2: *Dati curva di trasferimento*

$V_{in+} \pm \sigma_{V_{in+}} \text{ (V)}$	$V_{in-} \pm \sigma_{V_{in-}} \text{ (V)}$	FS (V)	$V_{out+} \pm \sigma_{V_{out+}} \text{ (V)}$	$V_{out-} \pm \sigma_{V_{out-}} \text{ (V)}$	FS (V)
1.08 ± 0.03	-1.04 ± 0.03	0.3	10.7 ± 0.3	-10.7 ± 0.3	3
0.108 ± 0.003	-0.107 ± 0.003	0.03	1.07 ± 0.003	-1.07 ± 0.03	0.3
0.43 ± 0.01	-0.43 ± 0.01	0.120	4.3 ± 0.1	-4.3 ± 0.1	1.2
0.74 ± 0.02	-0.74 ± 0.02	0.2	7.4 ± 0.2	-7.4 ± 0.2	2
1.39 ± 0.04	-1.38 ± 0.04	0.4	13.9 ± 0.4	-13.9 ± 0.4	4
1.72 ± 0.05	-1.70 ± 0.05	0.5	14.9 ± 0.4	-14.4 ± 0.4	4
2.04 ± 0.05	-1.99 ± 0.05	0.6	14.7 ± 0.4	-14.2 ± 0.4	4
2.14 ± 0.06	-2.09 ± 0.06	0.6	14.9 ± 0.4	-14.2 ± 0.4	4

III. PARTE II

Le misure sono state effettuate sull'amplificatore non invertente utilizzato al punto precedente e applicando una tensione sinusoidale di frequenza variabile mantenendo l'ampiezza $V_s = 2V_{pp}$.

III.I Amplificatore con $A=10$

Le resistenze inserite sono le stesse dello schema precedente, e quindi anche l'amplificazione teorica.

Sono state interpolate separatamente la zona di plateau e di discesa, ottenendo come risultati:

$$A_{\text{plateau}} = 10.1 \pm 0.1$$

$$q = 4.0 \pm 0.6$$

$$m = -0.6 \pm 0.1$$

La closed-loop bandwidth, f_b , del circuito, è stata ricavata trasformando il grafico come $y' = \log_{10}(y)$, interpolando la parte costante, traslandola di 3dB ($\log_{10}(\sqrt{2})$) verso il basso e intersecandola con la retta ottenuta interpolando la parte di discesa. La f_b era poi l'esponentiale in base 10 dell'intersezione. L'errore è stato poi calcolato effettuando una propagazione degli errori sulla f_b , tenendo conto anche dell'alta correlazione tra i coefficienti della retta (-0.9995)

$$f_b = 215 \pm 7 \text{ kHz}$$

Il GBP è

$$\text{GBP} = A_{\text{CL}} \cdot f_b = 2.17 \pm 0.08 \text{ MHz}$$

III.II Amplificatore con $A=5$

Le resistenze inserite sono state sostituite con:

$$R_{1,\text{up}} = 5.54 \pm 0.03 \text{ k}\Omega$$

$$R_{1,\text{down}} = 5.54 \pm 0.03 \text{ k}\Omega$$

$$R_{2,\text{up}} = 26.9 \pm 0.1 \text{ k}\Omega$$

$$R_{2,\text{down}} = 26.9 \pm 0.2 \text{ k}\Omega$$

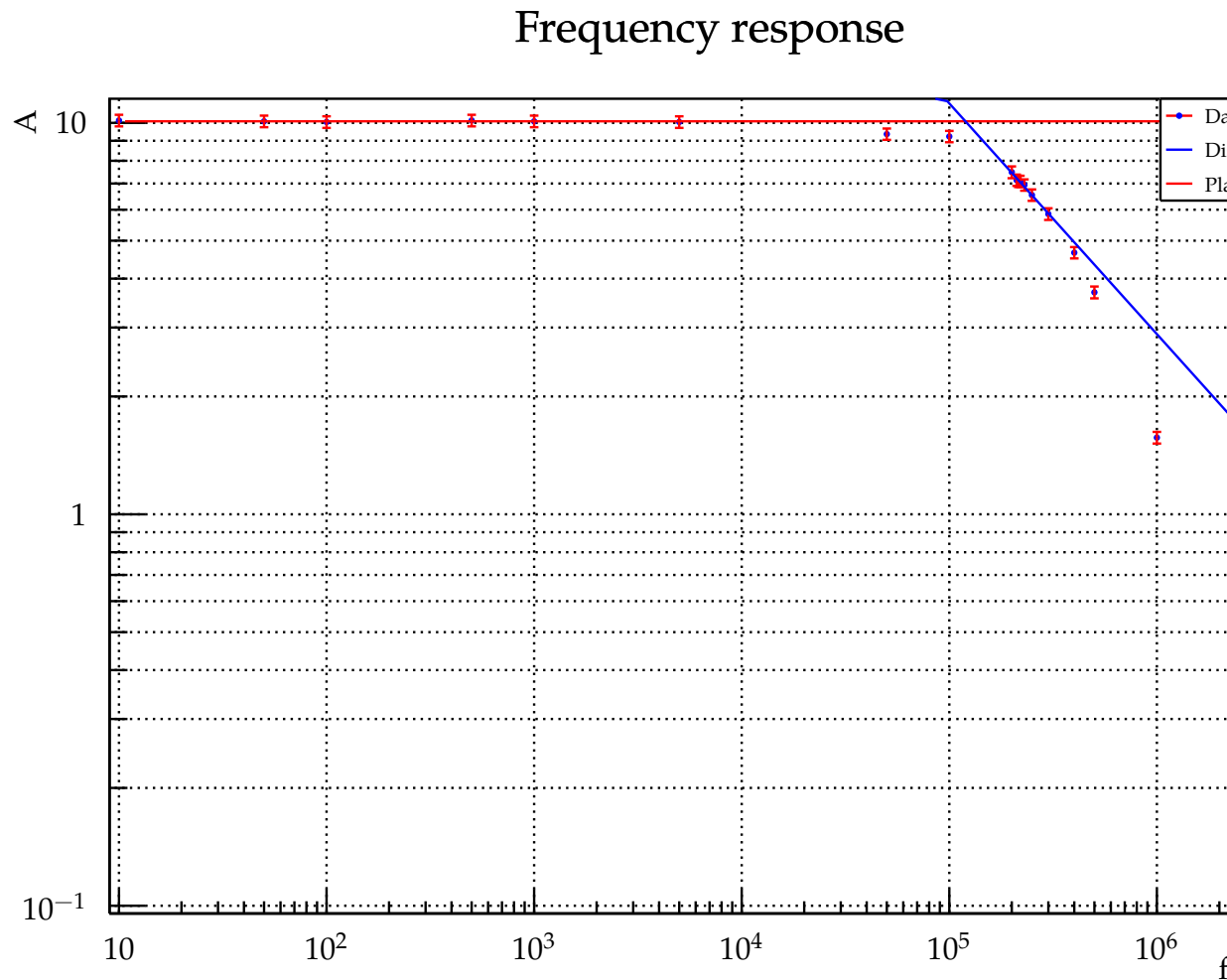
$$R_4 = 56.0 \pm 0.3 \Omega$$

Sono state interpolate separatamente la zona di plateau e di discesa, ottenendo come risultati:

$$A_{\text{plateau}} = 4.88 \pm 0.06$$

$$q = 3.7 \pm 0.7$$

$$m = -0.5 \pm 0.1$$

Grafico 3 Risposta in frequenza di un amplificatore non invertente con $A=10$ 

Dall'interpolazione si è poi ricavato $f_b = 520 \pm 20$ kHz

Il GBP è

$$\text{GBP} = A_{\text{CL}} \cdot f_b = 2.5 \pm 0.1 \text{ MHz}$$

III.III Amplificatore con $A=1$

Le resistenze inserite sono state sostituite con:

$$R_{1,\text{up}} = 32.6 \pm 0.2 \text{ k}\Omega$$

$$R_{1,\text{down}} = 32.6 \pm 0.2 \text{ k}\Omega$$

$$R_{2,\text{up}} = 32.7 \pm 0.2 \text{ k}\Omega$$

$$R_{2,\text{down}} = 32.5 \pm 0.2 \text{ k}\Omega$$

$$R_4 = 56.0 \pm 0.3 \Omega$$

Sono state interpolate separatamente la zona di plateau e di discesa, ottenendo come risultati:

$$A_{\text{plateau}} = 1.01 \pm 0.01$$

$$q = 12.6 \pm 0.4$$

$$m = -2.11 \pm 0.06$$

Dall'interpolazione si è poi ricavato $f_b = 1.12 \pm 0.01 \text{ MHz}$

Il GBP è

$$\text{GBP} = A_{\text{CL}} \cdot f_b = 1.13 \pm 0.02 \text{ MHz}$$

III.IV Discussione dei punti precedenti

Tabella 3: *Dati risposta in frequenza*

f(Hz)	A	???
10	10.14	2.5
50	10.09	2.5
100	10.05	2.5
500	10.14	2.5
1000	10.09	2.5
5000	10.05	2.5
50000	9.36	2
100000	9.23	2
200000	7.48	2
211000	7.14	1.5
215000	7.09	1.5
220000	7.09	1.5
230000	6.94	1.5
250000	6.54	1.5
300000	5.85	1.5
400000	4.66	1
500000	3.69	1
1000000	1.57	0.4
5000000	0.11	0.03

Grafico 4 Risposta in frequenza di un amplificatore non invertente con $A=5$

Frequency response

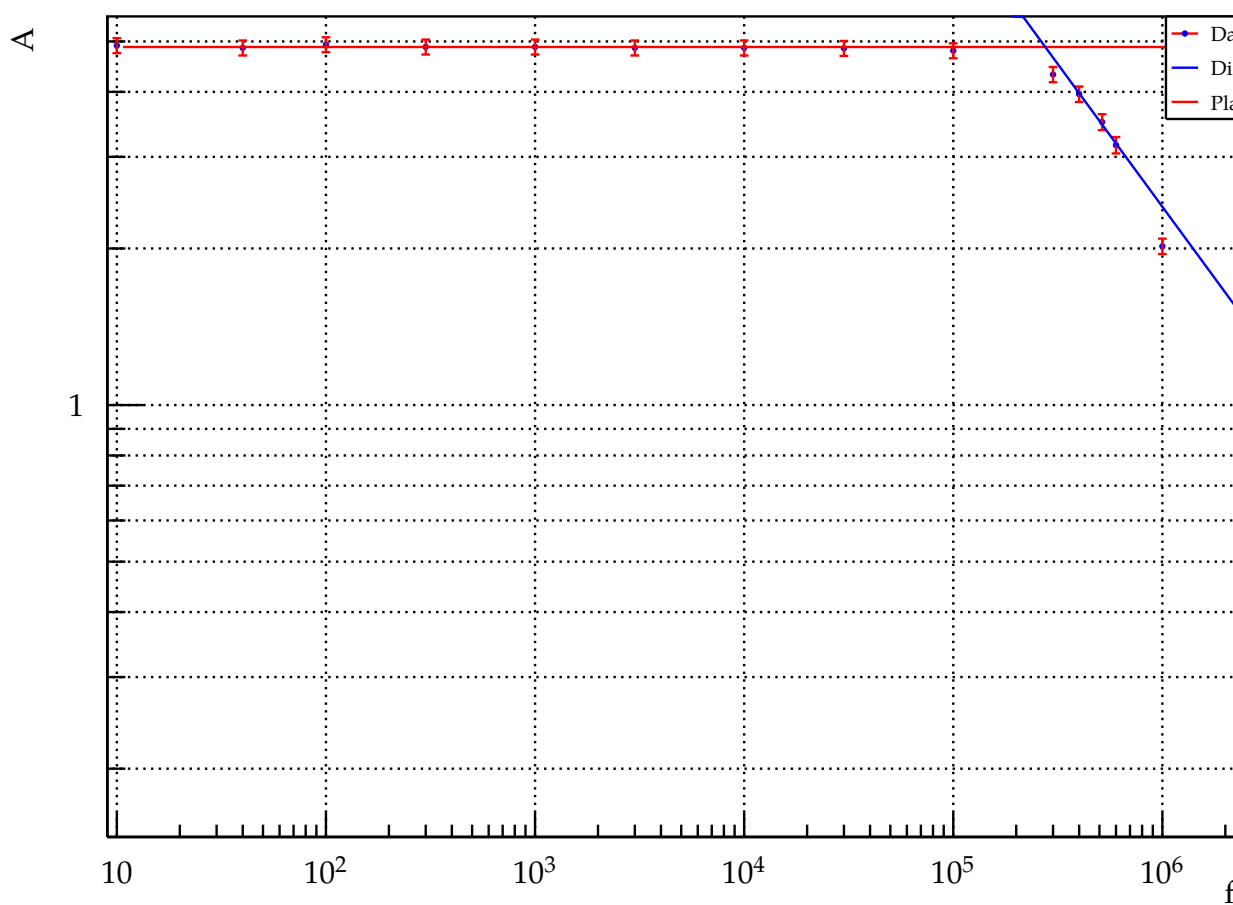


Tabella 4: *Dati risposta in frequenza*

f(Hz)	A	???
10	4.91	1
40	4.86	1
100	4.93	1
300	4.88	1
1000	4.88	1
3000	4.86	1
10000	4.86	1
30000	4.85	1
100000	4.8	1
300000	4.32	1
400000	3.96	1
515000	3.50	1
600000	3.16	1
1000000	2.02	0.5
3000000	0.44	0.1
5000000	0.17	0.04

Grafico 5 Risposta in frequenza di un amplificatore non invertente con $A=1$

Frequency response

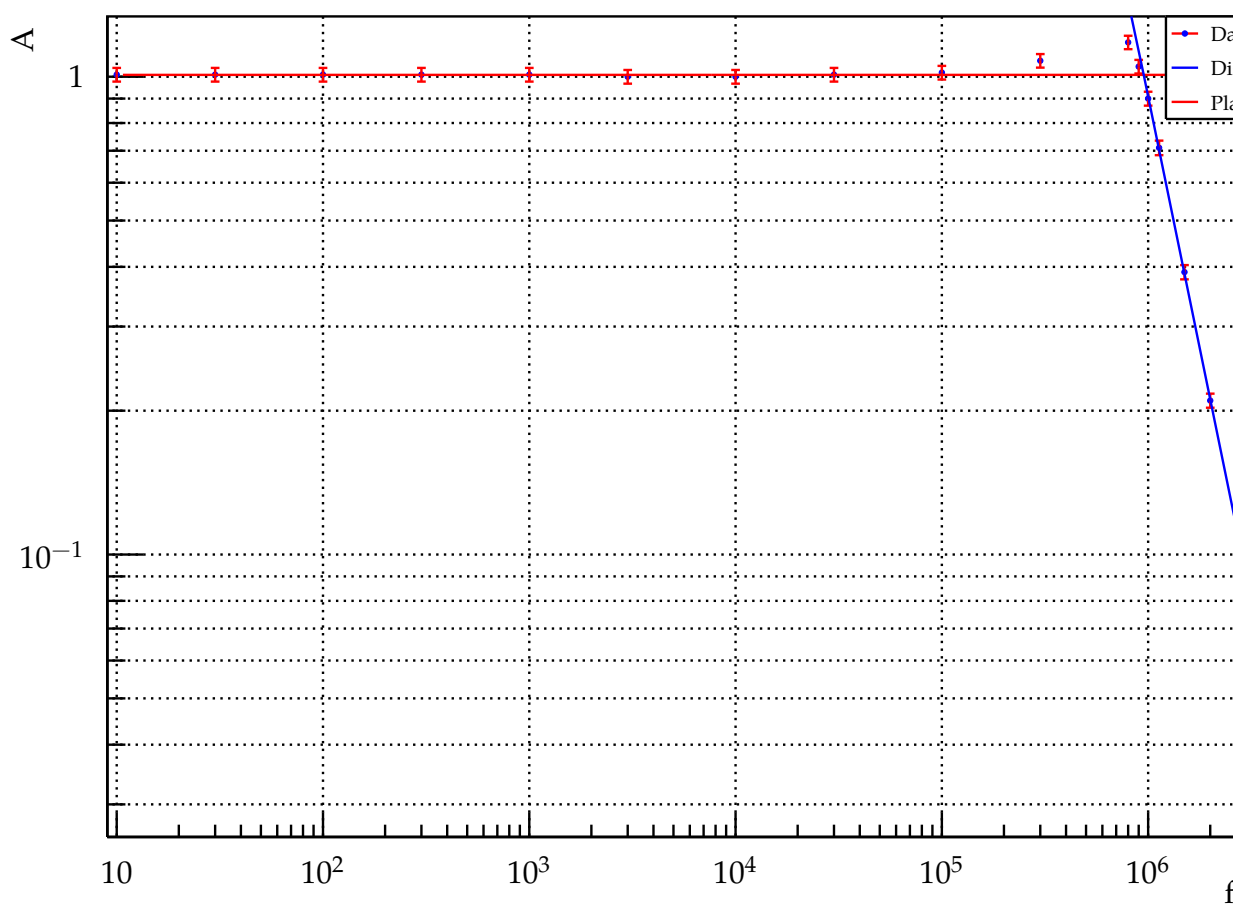
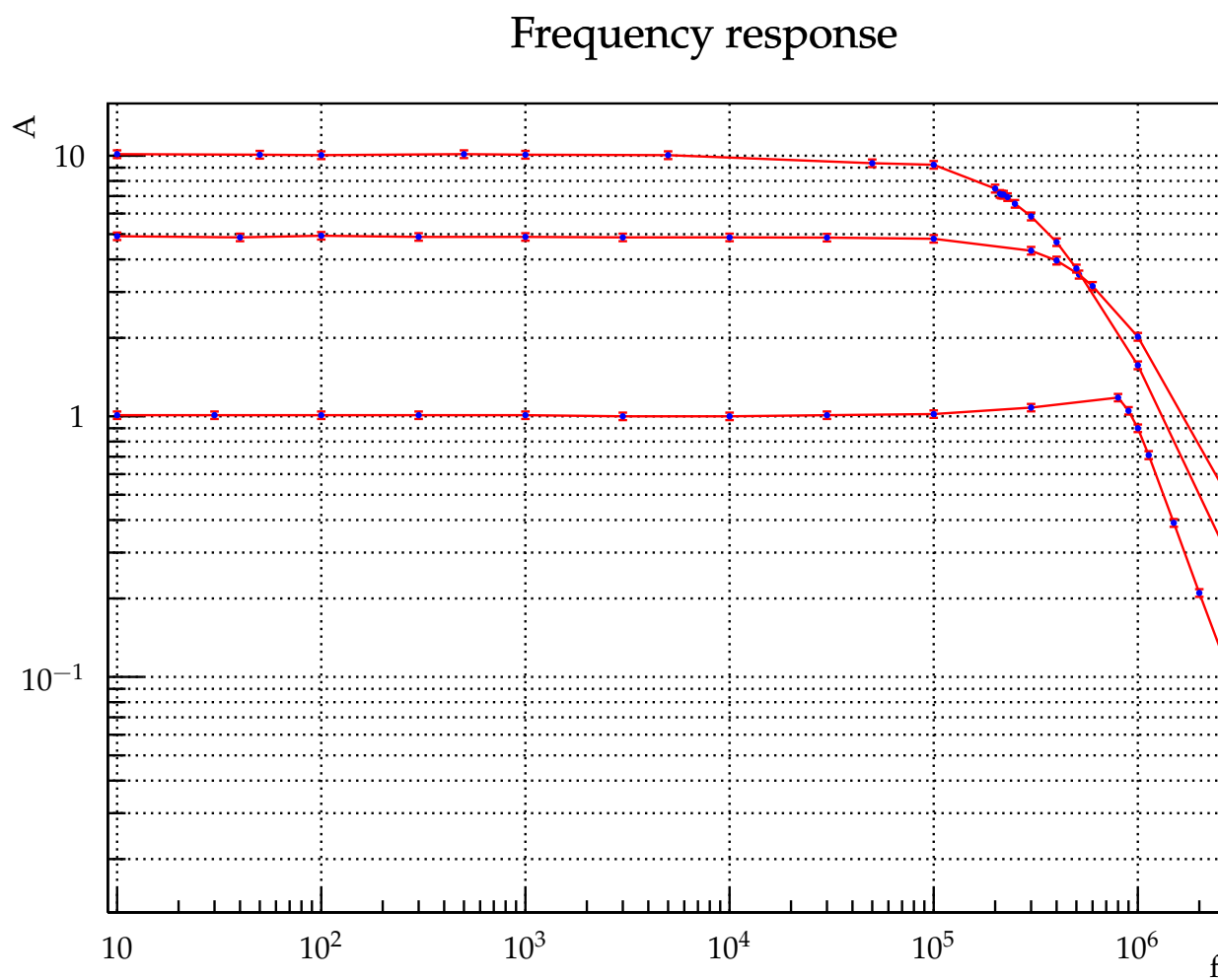


Tabella 5: *Dati risposta in frequenza*

f(Hz)	A	???
10	1.01	0.2
30	1.01	0.2
100	1.01	0.2
300	1.01	0.2
1000	1.01	0.2
3000	1.00	0.2
10000	1.00	0.2
30000	1.01	0.2
100000	1.02	0.2
300000	1.08	0.2
800000	1.18	0.2
900000	1.05	0.2
1000000	0.90	0.2
1130000	0.71	0.2
1500000	0.39	0.1
2000000	0.21	0.05
3000000	0.09	0.02
6000000	0.03	0.02

Grafico 6 Risposta in frequenza di un amplificatore non invertente a varie amplificazioni



IV. ANALISI DEI DATI

V. APPENDICE: CALCOLO DEGLI ERRORI

da cambiare

VI. CONCLUSIONI

da cambiare

VII. CODICE

È presentata qua la parte fondamentale del codice in c++ usato per i calcoli numerici. Inoltre è stato usato per i calcoli Mathematica.

```
1 /*
2  * OpampAnalisys.cpp
3  *
4  * Created on: 01/mag/2016
5  * Author: enrico
6  */
7
8 #include "OpampAnalisys.h"
9 #include "Graph.h"
10
11 #include <TR00T.h>
12 #include <TGraph.h>
13 #include <TGraphErrors.h>
14 #include <TF1.h>
15 #include <TCanvas.h>
16 #include <TAxis.h>
17 #include <TFitResult.h>
18 #include <TFrame.h>
19 #include <TLegend.h>
20
21 #include <iostream>
22
23 using namespace std;
24
25 string OpampAnalisys::basename = "";
26
27 unique_ptr<Graph> readGraph(string);
28
29 OpampAnalisys::OpampAnalisys(string filename)
30 : filename(filename)
31 {
32     string name = basename + filename + ".txt";
33     unique_ptr<Graph> gr = readGraph(name);
34
35     cout << gr->n() << endl;
36     g = unique_ptr<TGraphErrors>(new TGraphErrors(gr->n(), gr->x(),
37         gr->y(), gr->ex(), gr->ey()));
38 }
39
40 OpampAnalisys::~OpampAnalisys()
41 {
42     // TODO Auto-generated destructor stub
43 }
44
45 void OpampAnalisys::analisys()
46 {
```

```

46 TCanvas c("Interpolazione Opamp");
47 c.SetGrid();
48
49 g->SetFillColor(1);
50 g->SetLineColor(2);
51 g->SetLineWidth(1);
52 g->SetMarkerColor(4);
53 g->SetMarkerSize(0.7F);
54 g->SetMarkerStyle(1);
55 g->SetTitle("Gain");
56 g->GetXaxis()->SetTitle("V_{out} [V]");
57 g->GetYaxis()->SetTitle("V_{in} [V]");
58 g->Draw("AP");
59
60 TF1* f = new TF1("fit", "[0]+[1]*x");
61 f->SetParName(1, "m");
62 f->SetParName(0, "q");
63 f->SetLineColor(4);
64 f->SetLineWidth(1);
65
66 TFitResultPtr r = g->Fit(f, "S", "", -1.5, 1.5);
67 r->Print("V");
68 for (unsigned int i = 0; i < r->NPar(); ++i)
69 {
70     clog << r->ParName(i)
71         << " " << r->Parameter(i)
72         << " " << r->ParError(i) << endl;
73 }
74
75 TLegend *leg = new TLegend(0.8, 0.8, 0.9, 0.9);
76 leg->AddEntry(g.get(), "Data", "lp");
77 leg->AddEntry(f, "Fit", "l");
78 leg->Draw();
79
80 c.Update();
81 c.GetFrame()->SetFillColor(0);
82 c.GetFrame()->SetBorderSize(12);
83 c.Modified();
84
85 string name = "Result" + filename + ".tex";
86 c.Print(name.c_str());
87 }

```

../src/opamp_p1/OpampAnalysis.cpp